

УДК 538.9

## МАЛОУГЛОВОЕ РАССЕЙАНИЕ НЕЙТРОНОВ НА ФРАКТАЛЬНЫХ ОБЪЕКТАХ

© 2017 г. Е. Г. Яшина<sup>1, 2, \*</sup>, С. В. Григорьев<sup>1, 2</sup>

<sup>1</sup>Санкт-Петербургский государственный университет, 198504 Санкт-Петербург, Россия

<sup>2</sup>Петербургский институт ядерной физики НИЦ КИ, Гатчина,

188300 Санкт-Петербург, Россия

\*E-mail: yashina\_91@inbox.ru

Поступила в редакцию 19.10.2016 г.

Представлен расчет корреляционной функции изотропной фрактальной частицы конечного размера  $\xi$  и размерности  $D$ . Показано, что корреляционная функция  $\gamma(r)$  для объемных и поверхностных фракталов описывается общим выражением и пропорциональна функции Макдональда  $(D-3)/2$ -го порядка, помноженной на степенную функцию  $r^{D-3}/2$ . Асимптотика корреляционной функции в пределе  $r/\xi < 1$  как для объемных, так и для поверхностных фракталов совпадает с соответствующими корреляционными функциями неограниченных фракталов. В методе спин-эхо малоуглового рассеяния нейтронов измеряется одномерная корреляционная функция  $G(z)$ , которая для фрактальной изотропной частицы описывается аналогичным выражением, со сдвигом индекса функции Макдональда и показателя степенной функции на  $1/2$ . Пограничный случай перехода от объемного к поверхностному фракталу, соответствующий кубической зависимости сечения рассеяния нейтронов  $Q^{-3}$ , приводит к точному аналитическому выражению для одномерной корреляционной функции  $G(z) = \exp(-z/\xi)$ , а асимптотика корреляционной функции в области фрактального поведения при  $r/\xi < 1$  пропорциональна  $\ln(\xi/r)$ . Это соответствует особому типу самоподобия с аддитивным законом масштабирования, а не мультипликативным, как в случае объемного фрактала.

**Ключевые слова:** физика конденсированного состояния, малоугловое рассеяние нейтронов.

DOI: 10.7868/S0207352817090013

### ВВЕДЕНИЕ

С момента своего создания теория фракталов применяется для описания физических объектов и процессов. Объект называется фрактальным, если он обладает свойством самоподобия, т.е. повторяет свое геометрическое строение на разных масштабах. В качестве количественной меры геометрической сложности используется фрактальная размерность  $D_F$  (размерность Хаусдорфа–Безиковича), которая показывает, насколько плотно и равномерно элементы объекта заполняют пространство. Для фрактальных объектов чаще всего  $D_F$  имеет дробное значение. Чтобы определить фрактальную размерность объекта, вводится специальная мера  $M_D$  (мера Хаусдорфа), которая по своему смыслу может быть длиной, площадью или объемом, в зависимости от того, какова размерность пространства, в котором рассматривается объект. Мера  $M_D$  определяется следующим выражением:

$$M_D = N(\delta) \delta^D, \quad (1)$$

где  $\delta$  – пространственная переменная (расстояние, масштаб), а  $N(\delta)$  – количество уменьшенных в  $1/\delta$  раз копий, необходимых для заполнения исходного объекта. Исследуется поведение меры  $M_D$  при все большем уменьшении масштаба, т.е. при  $\delta \rightarrow 0$ . Если предел  $\lim_{\delta \rightarrow 0} M_D$  конечен при некотором значении  $D = D_F$ , то утверждается, что объект имеет фрактальную размерность  $D_F$ , и, если она дробная, то объект называется фракталом. Альтернативное определение фрактала звучит следующим образом: фрактал – это множество, у которого размерность Хаусдорфа–Безиковича  $D_F$  больше топологической размерности  $D_T$  (для точки  $D_T = 0$ , для отрезка  $D_T = 1$ , для плоской фигуры  $D_T = 2$  и т.д.) [1].

Концепция фрактальности оказалась необыкновенно продуктивной для описания объектов микромира. В рамках фрактального анализа описываются структуры полимеров [2–6], биологических клеток [7–12], пористых структур [13, 14], нанокластеров [15–19] и т.д. Наиболее развитым и востребованным методом определения фрактальности таких объектов является малоугловое рассеяние нейтронного, рентгеновского или синхротронного

излучений. Измеряемая в этом методе величина (сечение рассеяния в зависимости от переданного импульса) хотя и опосредовано, но связана с флуктуациями рассеивающей плотности  $\rho(\mathbf{r})$ , и равна фурье-образу корреляционной функции объекта  $\gamma(r)$ , которая определяется выражением

$$\gamma(r) = \left\langle \int_{R^3} \rho(\mathbf{r}') \cdot \rho(\mathbf{r}' + \mathbf{r}) d\mathbf{r}' \right\rangle, \quad (2)$$

где угловые скобки обозначают усреднение по угловым компонентам, а  $\mathbf{r} = (x, y, z)$  — пространственная координата. Таким образом, для того, чтобы описать рассеяние на фрактальном объекте нужно знать его корреляционную функцию.

Если известна функция рассеивающей плотности  $\rho(\mathbf{r})$ , то сечение рассеяния определено однозначно. Однако функция плотности известна только для ряда идеальных геометрических фигур (шара, эллипсоида, цилиндра и т.п.), для которых прямая задача решена точно. В большинстве случаев форма (структура) рассеивающего объекта неидеальна, и приходится иметь дело с обратной задачей, т.е. по сечению рассеяния пытаться восстановить функцию плотности. Как хорошо известно, решение обратной задачи не приводит к однозначному ответу, поскольку сечение рассеяния зависит от модуля плотности рассеяния  $|\rho(\mathbf{r})|$ . Заметим, что обратное преобразование Фурье даст в результате корреляционную функцию объекта. Однако точно восстановить по ней функцию плотности не представляется возможным из-за так называемой “фазовой” проблемы дифракции.

В случае с фрактальными объектами предположение о рассеивающей плотности берется прямо из определения фрактала, т.е. из свойства самоподобия. Это свойство легко конвертируется (как степенной закон) от функции плотности в парную корреляционную функцию, а затем в сечение рассеяния. Решение обратной задачи точно и, по-видимому, однозначно воспроизводит фрактальные свойства системы — степенной закон распределения плотности. Однако конкретный вид фрактала (его точное геометрическое строение) остается неизвестным, и его интерпретируют в рамках фрактальных моделей, используя дополнительные данные, например сканирующей электронной микроскопии.

В настоящей работе рассматривается рассеяние нейтронов на фрактальной частице в стандартном методе малоуглового рассеяния нейтронов (МУРН) [20, 21] и в методе спин-эхо малоуглового рассеяния нейтронов (СЭМУРН) [22, 23]. Для реальных фрактальных систем важен вопрос о характерном верхнем пределе фрактальной частицы. Во-первых, для новой методики исследования надатомного строения вещества

СЭМУРН совершенно необходима возможность измерения полной корреляционной функции частицы, т.е. без знания верхней границы фрактальной частицы невозможно определить фрактальную размерность системы. Во-вторых, вопрос о парной корреляционной функции частицы с фрактальной поверхностью никогда не рассматривался. Он фактически был заменен рассмотрением объемного фрактала на поверхности без обсуждения вопроса о том, как происходит переход от фрактальной поверхности к однородному ядру частицы. В-третьих, вопрос о промежуточной структуре между объемным и поверхностным фракталом до сих пор не рассматривался в литературе. Существует противоречивое мнение о нефизичности такой промежуточной структуры, и что она не реализуется в природе. Мы показали, что переход осуществляется через особый тип фракталов — логарифмический фрактал. В последнем случае искусственное введение ограничения на размер объемного фрактала в выражении для корреляционной функции объекта приводит к неверному результату, в случае, когда фрактальная размерность приближается к  $D = 3$ . Такое ограничение маскирует появление логарифмического фрактала, в результате чего он оказался нерассмотренным при исследованиях фракталов методом малоуглового рассеяния.

Для выработки единого подхода к задаче о малоугловом рассеянии нейтронов на фрактальных объектах, мы ищем решение обратной задачи, основываясь на следующих предположениях. Во-первых, фрактальная частица имеет характерный размер  $\xi$ , а во-вторых, рассеяние нейтронов на объемной или поверхностной фрактальной частице описывается единым выражением для сечения рассеяния от переданного импульса. Такой подход оказался на удивление продуктивным, позволил получить корреляционную функцию фрактальной частицы и открыл новый класс объектов с фрактальной зависимостью для  $D = 3$ , т.е. логарифмический фрактал.

## КОНЦЕПЦИЯ МАЛОУГЛОВОГО РАССЕЯНИЯ НА ФРАКТАЛЬНЫХ ОБЪЕКТАХ И ЕЕ ПРОТИВОРЕЧИЯ

**Нефрактальный объект.** Классический случай рассеяния на нефрактальных трехмерных неоднородностях рассматривался в работах [24, 25], где рассеивающий объект представляет собой двухфазную систему с распределенными случайным образом полостями различной формы в однородном материале. Плотность в этом случае описывается ступенчатой функцией следующего вида [25]:

$$\rho(r) = \begin{cases} \rho_0 = \text{Const}, & \text{если } r \text{ находится в веществе,} \\ 0, & \text{если } r \text{ находится в поре.} \end{cases}$$

Тогда корреляционная функция будет равна следующему выражению [25]:

$$\gamma(r) = \exp(-r/\xi), \quad (3)$$

где  $\xi$  – корреляционная длина поры. Тогда соответствующее корреляционной функции сечение рассеяния имеет следующий вид:

$$\frac{d\sigma}{d\Omega}(Q) = \frac{A}{(1 + (Q\xi)^2)^2}, \quad (4)$$

где  $A$  – константа, а  $Q$  – модуль вектора переданного импульса. Описанный случай аналогичен случаю рассеяния на нефрактальных объемных частицах со средним размером  $\xi$ .

Другим классическим случаем рассеяния на нефрактальном объекте является магнитное рассеяние на критических флуктуациях [26–28]. Выражение корреляционной функции было получено из соображения равновесности значения параметра порядка, иными словами, из условия минимизации свободной энергии [26], и выглядит следующим образом:

$$\gamma(r) = \frac{1}{r} \exp(-r/\xi), \quad (5)$$

где величину  $\xi$  принято называть радиусом корреляций. Соответствующее корреляционной функции сечение рассеяния имеет следующий вид:

$$\frac{d\sigma}{d\Omega}(Q) = \frac{A}{(1 + (Q\xi)^2)}. \quad (6)$$

Этот случай можно соотнести со случаем рассеяния на нефрактальных двумерных частицах со средним размером  $\xi$ .

**Объемные фракталы.** В работах [20, 21] было предложено следующее описание рассеяния на объемных фракталах. Корреляционная функция определялась, как вероятность найти рассеиватель на расстоянии  $r$  от другого рассеивателя, расположенного в начале координат, и выражалась через число рассеивателей  $N(r)$  в сфере радиусом  $r$  следующим соотношением:

$$N(r) = \frac{N}{V_0} \int_0^r \gamma(r') 4\pi r'^2 dr', \quad (7)$$

где  $N$  – общее число рассеивателей, а  $V_0$  – объем образца. С другой стороны, фрактальный объект характеризуется пространственным особым распределением отдельных рассеивателей. Их число задается согласно следующему выражению:

$$N(r) = \left(\frac{r}{r_0}\right)^{D_m}, \quad (8)$$

где  $r_0$  – характерный размер каждого отдельного рассеивателя, а  $D_m$  – фрактальная размерность, которая лежит в диапазоне  $2 < D_m < 3$ .

Дифференцируя уравнения (7), (8), и приравняв правые части, можно получить выражение для корреляционной функции:

$$\gamma(r) = \frac{D_m V_0}{4\pi N} \left(\frac{r}{r_0}\right)^{D_m-3}. \quad (9)$$

Выражение для корреляционной функции (9) не учитывает конечного размера фрактальной частицы, поэтому в работе [20] была искусственно введена экспоненциальная “срезка” с параметром  $\xi$ :

$$\gamma(r) = \frac{D_m V_0}{4\pi N} \left(\frac{r}{r_0}\right)^{D_m-3} \exp\left(-\frac{r}{\xi}\right). \quad (10)$$

Такая “срезка” естественным образом получается в теории критических явлений (5) [26–28], но является произволом в выражении для корреляционной функции фрактального объекта.

В ряде работ [29–33] эта корреляционная функция представлена следующим образом:

$$\gamma(r) = r^{D-3} \exp\left(-\frac{r}{\xi}\right). \quad (11)$$

В своих работах [20, 21] авторы предположили, что сечение рассеяния зависит главным образом от структурного фактора, а форм-фактор индивидуального рассеивателя можно считать константой, слабо зависящей от переданного импульса. Тогда преобразование Фурье от корреляционной функции (10) дает выражение для эффективного структурного фактора [29], которое выглядит следующим образом:

$$S(Q) = 1 + \frac{D\Gamma(D_m - 1) \sin[(D_m - 1) \arctan(Q\xi)]}{(Qr_0)^{D_m} \left(1 + \frac{1}{(Q\xi)^2}\right)^{\frac{D_m-1}{2}}}, \quad (12)$$

где  $\Gamma(x)$  – гамма-функция.

Разложение выражения (12) по малому параметру ( $1/Q\xi \ll 1$ ) в области переданных импульсов ( $1/\xi < Q < 1/r_0$ ), где частица проявляет свои фрактальные свойства, дает простую степенную зависимость:

$$I(Q) \cong S(Q) \sim Q^{-D_m}. \quad (13)$$

Именно выражением (13) пользуются для определения фрактальной размерности различных частиц: наклон кривой малоуглового рассеяния в двойном логарифмическом масштабе равен фрактальной размерности  $D_m$ . Основываясь на выражении (13), можно утверждать, что для объемных фракталов наклон кривой малоуглового рассеяния меняется от 2 до 3.

В работах по рассеянию нейтронов и рентгеновского излучения на фрактальных объектах остался

незамеченным тот факт, что выражение (12) является приблизительным и в некотором диапазоне размерностей вблизи  $D_m \sim 3$  просто неверным. Если, исходя из логики (10), (12), (13), рассмотреть случай  $D_m = 3$ , то, с одной стороны, согласно корреляционной функции объемного фрактала (10), мы получим нефрактальный объемный объект (плотный шар), описываемый выражениями (3), (4), а с другой стороны, согласно (13), получим фрактальный объект, рассеивающий по закону  $Q^{-3}$ . Поскольку фрактальная размерность  $D_m$  в (10) плавно меняется от 2 до 3, соответствующая степень в малоугловом рассеянии также плавно меняется от 2 до 4. Это значит, что наклон кривой малоуглового рассеяния не равен фрактальной размерности ( $3 \neq 4$ )! Сразу отметим, что причиной вышеописанных затруднений является произвольно добавленный характер экспоненциальной “срезки” в выражении для корреляционной функции (10).

Этот факт стал объектом научных дискуссий между двумя группами: Peter Pfeifer и др. [34] и Pozen Wong и др. [35], не приведших к правильному единому мнению. Суть разногласий заключалась в том, что первая группа [34] интерпретировала закон рассеяния  $Q^{-3}$  как предельный случай в рамках концепции объемных фракталов, используя выражение (13). Авторы работы [35], занимаясь поверхностными фракталами, сопоставляли объект, рассеивающий по закону рассеяния со степенью равной 3, с логарифмической шероховатостью. Ниже мы представляем новый способ получения корреляционной функции, позволяющий избежать этих разногласий.

**Поверхностные фракталы.** В работах [20, 21], кроме рассеяния на объемных фракталах, рассмотрено рассеяние на поверхностных фракталах, беря за основу корреляционную функцию, полученную в работе [36], посвященной рассеянию на системе с фрактальными порами. Корреляционная функция в этом случае определяется следующим образом [36]:

$$\gamma(r) = [Z(r) - c] / (1 - c), \quad (14)$$

где  $Z(r)$  — усредненная по всем точкам образца и его ориентациям, вероятность найти вторую точку в твердом материале (не в поре) на расстоянии  $r$  от точки, находящейся в начале координат, при условии, что она расположена тоже в твердом материале;  $(1 - c)$  — это часть объема образца, которую занимают поры. Число кубов с ребром  $r$ , которое требуется, чтобы сделать слой, покрывающий все точки фрактальной поверхности поры можно выразить как

$$n = N_0 r^{-D_s}, \quad (15)$$

где  $D_s$  — фрактальная размерность (по своему смыслу  $D_s$  не отличается от  $D_m$ ,  $2 < D_s < 3$ , это объемный фрактал на поверхности);  $N_0$  — константа,

отвечающая за постоянную характеристику фрактальных границ. Объем фрактального слоя задавался следующим выражением:

$$V_b = nr^3 = N_0 r^{3-D_s}. \quad (16)$$

Для  $x \leq r$  была введена вероятность, усредненная по всем ориентациям  $r$ , такая, что если точка твердого материала находится на расстоянии  $x$  от поверхности поры, то появляется еще одна точка твердого материала на расстоянии  $r$  от первой. В этом приближенном вычислении  $Z(r)$  предполагалось, что для малых  $r$  граничная поверхность является плоскостью, и  $p(r)$  имеет следующий вид:

$$p(x, r) = (r + x)/2r. \quad (17)$$

Функция  $Z(r)$  находится из уравнений (15)–(17) при условии, что  $r$  стремится к нулю следующим образом:

$$\begin{aligned} Z(r) &\cong \frac{cV - V_b}{cV} + \frac{V_b}{crV} \int_0^r p(x, r) dx = \\ &= 1 - N_0 r^{3-D} / 4cV. \end{aligned} \quad (18)$$

Корреляционная функция  $\gamma(r)$  находится из (14) и (18) в виде:

$$\gamma(r) = 1 - N_0 r^{3-D_s} / 4c(1 - c)V. \quad (19)$$

Соответствующее этой корреляционной функции сечение рассеяния равно:

$$\frac{d\sigma}{d\Omega}(Q) = \frac{B}{Q^{6-D_s}}, \quad (20)$$

где  $B$  — константа. В работе [21] предполагалось, что при рассеянии на поверхностных фракталах, сечение рассеяния главным образом зависит от форм-фактора, а структурный фактор можно считать константой, так как рассеяние происходит на поверхности частицы. Явным недостатком этого предположения является отсутствие конечности фрактала и, это приводит к тому, что при каком-то определенном параметре системы ( $N_0$ ,  $D$ ,  $c$ ,  $V$ ), значении  $r$  корреляционная функция  $\gamma(r)$  становится отрицательной.

Описанный выше случай соответствует рассеянию на поверхностных фракталах [20], фрактальная размерность поверхности которых равна  $D_s$ , которая изменяется от 2 до 3, в то время как показатель степени в малоугловом рассеянии меняется от 4 до 3, соответственно.

**Сечение рассеяния на фрактальных объектах.** На сегодняшний момент накоплен огромный экспериментальный опыт по малоугловому рассеянию нейтронов на фрактальных объектах [2–19]. Основываясь на этом опыте, и учитывая характер рассеяния, а именно, форму степенной функции от модуля переданного импульса в области, где фрактальное поведение возможно, а также конечные

размеры рассеивателя, сечение рассеяния можно записать в самом общем виде как

$$\frac{d\sigma}{d\Omega}(Q) = \frac{A}{(1 + (Q\xi)^2)^{D/2}}, \quad (21)$$

где  $A$  – постоянная величина. Отметим, что (21) в своих крайних случаях нефрактальных объектов при значениях  $D = 2$  и  $4$  сводится к (6) и (4), соответственно.

Нет сомнений, что выражение (21) должно описывать рассеяние на фрактальной частице при  $Q\xi \ll 1$ . Также немаловажным является следующий комментарий: в классическом малоугловом рассеянии нейтронов часто используют выражение  $\frac{d\sigma}{d\Omega}(Q) \sim Q^{-D}$ , поскольку, во-первых справедливо полагают, что фрактальная частица определяется размерностью  $D$ , а, во-вторых, разрешения, достигаемого в эксперименте, бывает недостаточно для определения размера частицы  $\xi$ . Последнее обстоятельство, тем не менее, нисколько не мешает установить фрактальную размерность, что делает малоугловое рассеяние нейтронов совершенно незаменимым методом исследования фрактальных объектов.

Напротив, для нового метода исследования нано- и микрочастиц спин-эхо малоуглового рассеяния нейтронов определение размера фрактальной частицы является абсолютно необходимым для однозначного определения фрактальной размерности. В этом методе измеряется аналог корреляционной функции  $\gamma(r)$ , а именно, спин-эхо корреляционной функции  $G(z)$  в широком диапазоне корреляционных длин от 20 нм до 20 мкм. Отметим также, что получение корреляционной функции  $\gamma(r)$  и ее аналога, спин-эхо функции  $G(z)$ , из сечения рассеяния нейтронов (21) оказывается совершенно естественным в логике постановки спин-эхо эксперимента. Эта процедура позволила выявить особенности корреляционной функции для фрактальных частиц с размерностью  $D \sim 3$ . Данная область размерностей была на удивление плохо интерпретирована в литературе. Ниже мы даем четкую и строгую интерпретацию закона рассеяния  $Q^{-3}$ , как рассеяния на логарифмическом фрактале.

### СЕЧЕНИЕ МАЛОУГЛОВОГО РАССЕЯНИЯ НЕЙТРОНОВ И КОРРЕЛЯЦИОННАЯ ФУНКЦИЯ

**Основы метода СЭМУРН.** В методе СЭМУРН используется явление ларморовской прецессии магнитного момента нейтрона в магнитном поле для декодирования угла рассеяния при взаимодействии нейтрона с частицей [22]. В эксперименте измеряется поляризация нейтронного пучка  $P$  при его прохождении через образец толщины  $l$ . При

этом производится сканирование по пространственной координате  $z$ , перпендикулярной направлению нейтронного пучка, также называемой спин-эхо длиной. Измеренная поляризация изменяется следующим образом [23, 37]:

$$P(z) = \exp(l\sigma(G(z) - 1)), \quad (22)$$

где  $\sigma$  – полное сечение рассеяния нейтронов и  $G(z)$  – корреляционная функция СЭМУРН. Функция  $G(z)$  связана с сечением рассеяния  $\frac{d\sigma}{d\Omega}(Q)$  преобразованием Ханкеля[22]:

$$G(z) = \frac{1}{\sigma k_0^2} \int_{R^2} \cos(zQ_z) \frac{d\sigma}{d\Omega}(Q) dQ_y dQ_z, \quad (23)$$

где  $k_0$  – величина волнового вектора падающего на образец нейтрона,  $Q_z$  и  $Q_y$  – проекции переданного импульса рассеяния на соответствующие оси.

В работе [38] было показано, что функция  $G(z)$  есть не что иное, как двумерная проекция вдоль оси прохождения нейтронного пучка пространственной корреляционной функции частицы, т.е. она выражается следующим соотношением:

$$G(z) = \int_R \gamma(x, 0, z) dx. \quad (24)$$

В свою очередь корреляционная функция  $\gamma(r)$  выражается через свою проекцию  $G(z)$  с помощью интегрального преобразования как [45]:

$$\gamma(r) = -\frac{\xi}{\pi} \int_r^\infty \frac{G'(z)}{\sqrt{z^2 - r^2}} dz. \quad (25)$$

Таким образом, зная закон рассеяния, можно вычислить функцию СЭМУРН, а затем, используя (25), корреляционную функцию исследуемого объекта.

Метод СЭМУРН является комплементарным классическому методу МУРН. Он, во-первых, существенно расширяет пространственный диапазон исследования и, во-вторых, позволяет исследовать аналог корреляционной функции рассеивающего объекта в реальном пространстве. Однако оба метода позволяют получить информацию только о корреляционной функции рассеивающего объекта, а не о его плотности. Зная одну из функций  $G(z)$ ,  $\frac{d\sigma}{d\Omega}(Q)$  или  $\gamma(r)$  и делая соответствующее интегральное преобразование, можно без потери информации найти две остальные.

На рис. 1 дано схематичное представление соотношений между сечением рассеяния  $\frac{d\sigma}{d\Omega}(Q)$ , корреляционной функцией  $\gamma(r)$  и ее проекцией или СЭМУРН функцией  $G(z)$ .

Над стрелками подписаны соответствующие преобразования, переводящие эти функции одна



Рис. 1. Схематическое представление соотношений между функциями  $G(z)$ ,  $\frac{d\sigma}{d\Omega}(Q)$  и  $\gamma(r)$  [45].

в другую: преобразование Фурье — для  $\frac{d\sigma}{d\Omega}(Q)$  и  $\gamma(r)$ , преобразование Ханкеля — для  $\frac{d\sigma}{d\Omega}(Q)$  и  $G(z)$ , преобразование Абеля — для  $\gamma(r)$  и  $G(z)$ .

Иначе говоря, в методах МУРН и СЭМУРН измеряется пространственная корреляционная функция, и главной задачей остается ее интерпретация в терминах плотности рассеивающего образца. К сожалению, точное определение рассеивающей плотности  $\rho(\mathbf{r})$  невозможно, и мы можем только строить модели, которые адекватно описывали бы корреляционную функцию. Также следует отметить, что все рассматриваемые в данной работе плотности рассеяния предполагаются анизотропными.

**Функция СЭМУРН.** Для описания эксперимента по спин-эхо малоугловому рассеянию нейтронов требуется знать закон рассеяния  $\frac{d\sigma}{d\Omega}(Q)$ . Затем, делая интегральное преобразование Ханкеля, можно получить выражение для корреляционной функции объекта, измеряемой в эксперименте.

Покажем, что закон рассеяния (21) при произвольном значении  $D$  можно проинтегрировать, следуя выражению (23), тем самым получая функцию спин-эхо для объекта любой фрактальной размерности.

Перейдем в (23) к безразмерной переменной  $\xi Q = t$ , а затем — в полярные координаты:

$$G(z) = \frac{A}{\xi^2 \sigma k_0^2} \int_0^{2\pi} \int_0^{\infty} \cos\left(\frac{z}{\xi} t \cos(\varphi)\right) \frac{td\varphi}{(t^2 + 1)^{D/2}}. \quad (26)$$

Далее проинтегрируем по угловой компоненте вектора переданного импульса:

$$G(z) = \frac{2\pi A}{\xi^2 \sigma k_0^2} \int_0^{\infty} \frac{J_0\left(\frac{z}{\xi} t\right) t dt}{(t^2 + 1)^{D/2}}, \quad (27)$$

где  $J_0(x)$  — функция Бесселя первого рода нулевого порядка. Интеграл (27) тоже берется и равен:

$$G(z) = \frac{2\pi A}{\xi^2 \Gamma(D/2) \sigma k_0^2} \left(\frac{z}{2\xi}\right)^{\frac{D}{2}-1} K_{\frac{D}{2}-1}\left(\frac{z}{\xi}\right), \quad (28)$$

где  $K_\nu(x)$  — функция Макдональда порядка  $\nu$ ,  $\Gamma(x)$  — гамма-функция. Можно показать, что полное сечение рассеяния нейтронов равно:

$$\sigma = \frac{2\pi A}{k_0^2} \int_R \frac{QdQ}{(1 + (Q\xi)^2)^{D/2}} = \frac{2\pi A}{\xi^2 k_0^2} \frac{1}{(D-2)}. \quad (29)$$

После нормировки на  $\sigma$ , получаем функцию  $G(z)$  в виде:

$$G(z) = \frac{2}{\Gamma\left(\frac{D}{2}-1\right)} \left(\frac{z}{2\xi}\right)^{\frac{D}{2}-1} K_{\frac{D}{2}-1}\left(\frac{z}{\xi}\right). \quad (30)$$

Таким образом, мы показали, что функция спин-эхо  $G(z/\xi)$  является функцией Макдональда  $\nu$ -го порядка, помноженной на степенную функцию  $(z/2\xi)^\nu$ . При этом параметр  $\nu$  линейно связан со степенью фрактальности объекта  $\nu = D/2 - 1$ . Другими словами, показано, что форма корреляционной функции в методе СЭМУРН прямо определяется фрактальной степенью рассеивающего объекта.

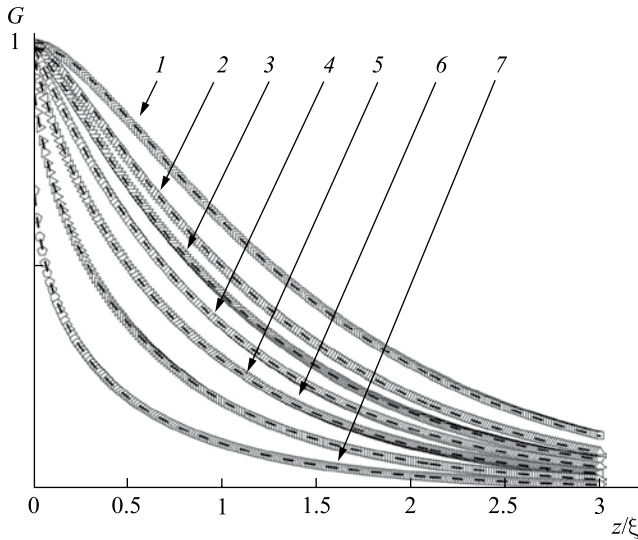
В некоторых случаях формула (30) заметно упрощается. Наиболее простой функция спин-эхо получается при  $D = 3$ :

$$G(z) = \frac{1}{\Gamma\left(\frac{3}{2}\right)} \left(\frac{z}{2}\right)^{\frac{1}{2}} K_{\frac{1}{2}}\left(\frac{z}{\xi}\right) = \exp\left(-\frac{z}{\xi}\right). \quad (31)$$

Того же результата можно добиться, посчитав интеграл (23) с сечением (21) при  $D = 3$  (см. Приложение А).

На рис. 2 изображена функция спин-эхо  $G(z)$  для различных степеней  $D = 4, 3.75, 3.5, 3.25, 3.0, 2.75, 2.5, 2.25$ . Отметим, что для степени  $D = 3$  функция спин-эхо имеет простую экспоненциальную зависимость  $\exp(-z/\xi)$ . Спин-эхо функции  $G(z)$  для поверхностных ( $D > 3$ ) и объемных ( $D < 3$ ) фракталов лежат выше и ниже экспоненциальной зависимости, соответственно. Пунктирной линией показана аппроксимация теоретической функцией (50) (см. подробно в Приложении В).

**Корреляционная функция фрактального объекта.** Для нахождения корреляционной функции фрактального объекта  $\gamma(r)$  будем использовать соотношение (25). Для этого посчитаем производную от спин-эхо функции по  $z$ :



**Рис. 2.** Спин-эхо функции  $G$  при различных значениях показателя степенной функции в сечении малоуглового рассеяния  $D$ . Кривые с 1 по 3 соответствуют поверхностным фракталам ( $1 - D = 4$ ,  $2 - D = 3.5$ ,  $3 - D = 3.25$ ). Кривая 4 соответствует промежуточному значению параметра  $D = 3$ , т.е. логарифмическому фракталу. Кривые с 5 по 7 соответствуют объемным фракталам ( $5 - D = 2.75$ ,  $6 - D = 2.5$ ,  $7 - D = 2.25$ ).

$$G'(z) = \frac{2}{\Gamma\left(\frac{D}{2} - 1\right)} \frac{d}{dz} \left( \left( \frac{z}{2\xi} \right)^{\frac{D}{2} - 1} K_{\frac{D}{2} - 1} \left( \frac{z}{\xi} \right) \right) = \frac{-2}{\xi \Gamma\left(\frac{D}{2} - 1\right)} \left( \frac{z}{2\xi} \right)^{\frac{D}{2} - 1} K_{\frac{D}{2} - 2} \left( \frac{z}{\xi} \right), \quad (32)$$

и, подставив ее в (25), получим

$$\gamma(r) = \frac{2}{\Gamma\left(\frac{D}{2} - 1\right) (2\xi)^{\frac{D}{2} - 1}} \frac{1}{\pi} \int_r^\infty \frac{\left( \frac{z}{2\xi} \right)^{\frac{D}{2} - 1} K_{\frac{D}{2} - 2} \left( \frac{z}{\xi} \right)}{\sqrt{z^2 - r^2}} dz. \quad (33)$$

Сделаем замену  $z = xr$  и возьмем интеграл:

$$\begin{aligned} \gamma(r) &= \frac{2 r^{\frac{D}{2} - 1}}{\Gamma\left(\frac{D}{2} - 1\right) (2\xi)^{\frac{D}{2} - 1}} \frac{1}{\pi} \int_1^\infty \frac{\left( \frac{xr}{2\xi} \right)^{\frac{D}{2} - 1} K_{\frac{D}{2} - 2} \left( \frac{xr}{\xi} \right)}{\sqrt{x^2 - 1}} dx = \\ &= \frac{2}{\sqrt{\pi} \Gamma\left(\frac{D}{2} - 1\right)} \left( \frac{r}{2\xi} \right)^{(D-3)/2} K_{(D-3)/2} \left( \frac{r}{\xi} \right). \quad (34) \end{aligned}$$

Легко заметить, что получившееся выражение для корреляционной функции (34), с точностью до

константы, равно функции СЭМУРН (30) со сдвинутым на  $1/2$  индексом.

Можно привести некоторую интегральную оценку средней плотности частицы, корреляционная функция которой удовлетворяет выражению (34), поскольку смысл корреляционной функции – это вероятность найти ненулевую плотность на расстоянии  $r$  от выбранной начальной точки, усредненная по всем точкам частицы. Таким образом, корреляционная функция – это аналог плотности. Проинтегрировав ее по трехмерному пространству, можно получить объем частицы. В корреляционной функции (34) учтен конечный размер частицы, поэтому такая процедура не требует дополнительных модификаций для учета ее границы. Интегрирование приводит к следующему результату:

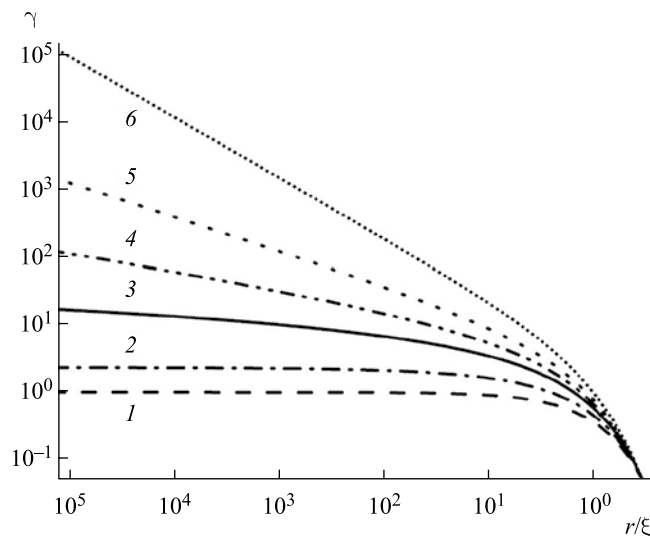
$$\begin{aligned} V_D &= \frac{2^{(9-D)/2} \sqrt{\pi}}{\Gamma\left(\frac{D}{2} - 1\right)} \int_0^\infty \left( \frac{r}{\xi} \right)^{(D-3)/2} \times \\ &\times K_{(D-3)/2} \left( \frac{r}{\xi} \right) r^2 dr = 4\pi(D-2)\xi^3. \quad (35) \end{aligned}$$

При  $D = 2$ , что соответствует плоским частицам, объем всей частицы равен нулю, при  $D = 4$  объект полностью заполняет отведенное ему трехмерное пространство, и, без ограничения общности, мы называем его объемным шаром с четкой границей. Так можно сравнить степень заполненности пространства объектами с различными фрактальными свойствами. Например, поверхностный фрактал с фрактальной степенью  $D_s = 2.5$  заполняет пространства в три раза больше, чем объемный фрактал с такой же размерностью  $D_m = 2.5$ . Видно, что  $D = 3$  никаким особым образом не выбивается из общей тенденции. Можно заключить, что этот объект занимает пространства в два раза меньше, чем плотный шар. Также он “выигрывает” по заполнению пространства у любого объемного фрактала и “проигрывает” любому поверхностному.

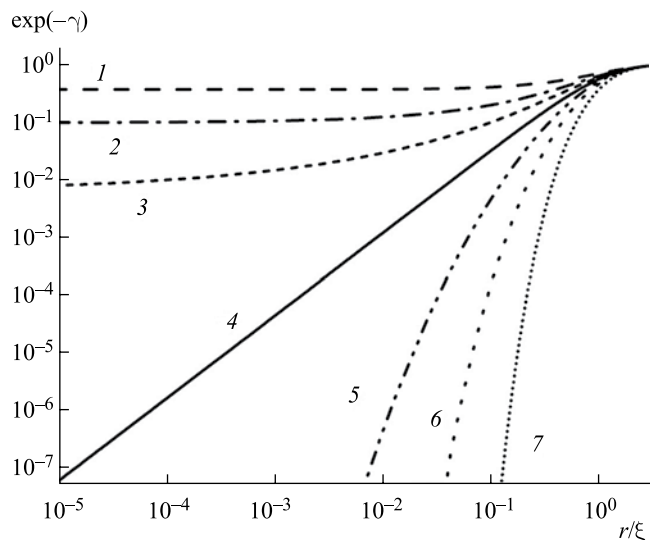
На малых расстояниях  $r$  корреляции между точками, находящихся внутри частицы, преобладают над корреляциями между точками вблизи ее границы. Поэтому рассмотрим подробно корреляционные функции (34) при  $r/\xi \ll 1$  для того, чтобы понять, что происходит внутри частицы. Пользуясь интегральным представлением для функции Макдональда (44) (см. Приложение В), можно получить асимптотические выражения для (34) при  $r/\xi \ll 1$ .

Для объемных фракталов, т. е. при  $2 < D < 3$ , получается следующее выражение:

$$\gamma(r) \sim \left( \frac{r}{\xi} \right)^{D-3}. \quad (36)$$



**Рис. 3.** Пространственная корреляционная функция при разных значениях показателя степенной функции в сечении малоуглового рассеяния  $D$  в двойном логарифмическом масштабе. Кривые 1 и 2 соответствуют поверхностным фракталам ( $1 - D = 4$ ,  $2 - D = 3.5$ ). Кривая 3 соответствует промежуточному значению параметра  $D = 3$ , т.е. логарифмическому фракталу. Кривые с 4 по 6 соответствуют объемным фракталам ( $4 - D = 2.75$ ,  $5 - D = 2.5$ ,  $6 - D = 2.1$ ).



**Рис. 4.** Функция  $\exp(-\gamma(r))$  при различных значениях показателя степенной функции, описывающей малоугловое рассеяние нейтронов  $D$ . Кривые с 1 по 3 соответствуют поверхностным фракталам ( $1 - D = 4$ ,  $2 - D = 3.5$ ,  $3 - D = 3.25$ ). Кривая 4 соответствует промежуточному значению параметра  $D = 3$ , т.е. логарифмическому фракталу. Кривые с 5 по 7 соответствуют объемным фракталам ( $5 - D = 2.75$ ,  $6 - D = 2.5$ ,  $7 - D = 2.1$ ).

Для  $D = 3$  асимптотика соответствующей корреляционной функции выражается в виде логарифма:

$$\gamma(r) \sim \ln(\xi / r). \tag{37}$$

**Таблица 1.** Функция СЭМУРН  $G(z)$  и пространственная корреляционная функция  $\gamma(r)$  при разных значениях показателя степенной функции в сечении малоуглового рассеяния (21)

$D$	$G(z)$	$\gamma(r)$	$\gamma(r)$ при $r/\xi < 1$
4	$\left(\frac{z}{\xi}\right) K_1\left(\frac{z}{\xi}\right)$	$\exp\left(-\frac{z}{\xi}\right)$	$1 - r$
3.5	$\left(\frac{z}{\xi}\right)^{\frac{3}{4}} K_{\frac{3}{4}}\left(\frac{z}{\xi}\right)$	$\left(\frac{r}{\xi}\right)^{-\frac{1}{4}} K_{-\frac{1}{4}}\left(\frac{r}{\xi}\right)$	$1 - 0.96 r^{1/2}$
3	$\exp\left(-\frac{z}{\xi}\right)$	$K_0\left(\frac{r}{\xi}\right)$	$\ln(r/\xi)$
2.5	$\left(\frac{z}{\xi}\right)^{\frac{1}{4}} K_{\frac{1}{4}}\left(\frac{z}{\xi}\right)$	$\left(\frac{r}{\xi}\right)^{-\frac{1}{4}} K_{-\frac{1}{4}}\left(\frac{r}{\xi}\right)$	$\left(\frac{r}{\xi}\right)^{-1/2}$
2	$K_0\left(\frac{z}{\xi}\right)$	$\left(\frac{r}{\xi}\right)^{-1} \exp\left(-\frac{r}{\xi}\right)$	$\left(\frac{r}{\xi}\right)^{-1}$

Для демонстрации логарифмического поведения корреляционной функции (34) при  $D = 3$  на рис. 4 построены функции  $\exp(-\gamma(r))$  при разных значениях  $D$ . Видно, что при  $D = 3$  соответствующая функция линейна при  $r/\xi \lesssim 1$ .

Для поверхностных фракталов, т. е. при  $3 < D < 4$  асимптотика соответствующей корреляционной функции имеет вид:

$$\gamma(r) \sim 1 - \alpha \left(\frac{r}{\xi}\right)^{D-3}, \tag{38}$$

где  $\alpha = \pi^{2(4-D)} / (D-3)\Gamma^2(D-3) / 2\sin(\pi(D-3)/2)$ . Если в этом случае положить  $D = 6 - D_s$ , то (38) с точностью до констант совпадает с (19).

Во всех случаях приближение  $r/\xi \lesssim 1$  хорошо работает, демонстрируя фрактальные особенности частицы (рис. 3, рис. 4). В табл. 1 приведены функции СЭМУРН  $G(z)$  и соответствующие им корреляционные функции  $\gamma(r)$  при разных значениях показателя степени в сечении малоуглового рассеяния нейтронов, представленного в выражении (21).

### ВИД КОРРЕЛЯЦИОННОЙ ФУНКЦИИ

Функция  $\gamma(r)$  фрактальной частицы характеризуется, во-первых, быстрым (экспоненциальным) спадом при  $r/\xi > 1$ , который соответствует рассеянию на частице, как на целом объекте и, во-вторых, фрактальным поведением при  $r/\xi \lesssim 0.1$ . Первое

утверждение становится ясным, если вспомнить асимптотику функций Макдональда при  $z \rightarrow \infty$ , которая универсальна для любого показателя  $n$  и пропорциональна  $(1/z)^{1/2} \exp(-z)$ . Тогда выражение для корреляционной функции выглядит следующим образом:

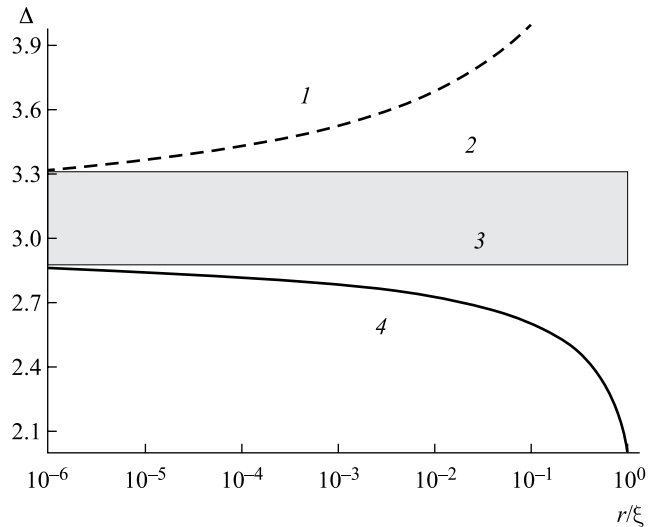
$$\gamma(r) \sim \left(\frac{r}{\xi}\right)^{\frac{D-4}{2}} \exp\left(-\frac{r}{\xi}\right). \quad (39)$$

Важно отметить, что асимптотическое выражение для корреляционной функции Ур. (39) совпадает со своим точным значением при  $D = 2, 4$ , а именно, для простых случаев плоских и объемных частиц. Возможно, этот факт послужил некоторой предпосылкой к тому, что в работах [20, 21] было предложено использовать подобное выражение в качестве корреляционной функции объемных фракталов (10). При значениях  $r/\xi \gtrsim 0.1$  корреляционная функция поверхностного фрактала

$$(4 > D > 3) \text{ (рис.3) пропорциональна } 1 - \alpha \left(\frac{r}{\xi}\right)^{D-3}.$$

Это свидетельствует о том, что поверхностный фрактал имеет однородное по плотности ядро и вносит главный вклад в корреляции на малых расстояниях, при которых  $\alpha \left(\frac{r}{\xi}\right)^{D-3} \ll 1$ . При увеличении аргумента рассеяние происходит на фрактальной

поверхности при  $\alpha \left(\frac{r}{\xi}\right)^{D-3} \ll 1$ . Параметры  $\alpha$  и  $D$  определяют толщину фрактальной поверхности и размер плотного ядра. При стремлении  $D \rightarrow 3$  (рис. 3), размер плотного ядра уменьшается и, в момент, когда  $D = 3$  оно полностью пропадает, и поверхностный фрактал превращается в логарифмический фрактал, а соответствующая корреляционная функция пропорциональна  $\ln(\xi/r)$ . Это свидетельствует о том, что частица имеет иерархически разветвленную структуру, похожую на дерево, что обеспечивает максимальную доступность любого участка извне. Этот факт указывает на то, что коллоидные фрактальные кластеры являются предельно разветвленными. В терминах поверхностных фракталов это можно переформулировать следующим образом: поверхность такого объекта присутствует на всех масштабах длины и, вследствие этого, она имеет максимально возможную площадь. Стоит упомянуть, что в работах [48–50] исследовалась структурная организация почвенных коллоидов методом МУРН. Согласно экспериментальным данным, в целом ряде случаев измеряемая фрактальная размерность почв близка к значению  $D = 3$ . Далее при  $3 > D > 2$  (рис. 3) логарифмический фрактал переходит в объемный, с корреляционной функцией  $(r/\xi)^{D-3}$ , соответственно.



**Рис. 5.** Диаграмма, характеризующая скорость изменения корреляционной функции фракталов (ее производной) с масштабом, в зависимости от показателя степени  $D$  в диапазоне размеров  $10^{-6} < r/\xi < 1$ . Кривая 1 соответствует условию:  $\gamma'_{sur} = \gamma'_{in}$ . Кривая 2 соответствует условию:  $D = 3.3$ . Кривая 3 соответствует условию  $D = 2.9$ . Кривая 4 соответствует условию:  $\gamma'_{vol} = \gamma'_{in}$ .

Следует отдельно рассмотреть вопрос о том, при каких значениях  $D$  поверхностный и объемный фракталы переходят в логарифмический. Иными словами, является ли логарифмический фрактал вырожденным случаем, когда  $D = 3$ , или он может покрывать некоторый диапазон значений, близких, но не равных 3? В первом приближении диапазон значений  $D$ , в котором логарифмический фрактал может оказаться ярче выраженным, по сравнению со степенными (поверхностным и объемным) фракталом, можно оценить по скорости изменения корреляционной функции (ее производной) с изменением масштаба. Принимая во внимание нижний предел отношения, который имеет физический смысл,  $r/\xi = 10^{-5}$  (при максимальном  $\xi = 10$  мкм и минимально возможном  $r = 1 \text{ \AA}$ ), можно сравнить различные типы фракталов. Сравнивая производные корреляционных функций, описывающие объемный фрактал (36) и фрактал логарифмический (37)  $\gamma'_{vol}(r) < \gamma'_{in}(r)$ , можно сделать вывод, что скорость изменения корреляций логарифмического фрактала больше, чем объемного фрактала при  $D < 2.9$  во всем интересующем нас диапазоне ( $10^{-5} < r/\xi < 1$ ). Аналогичный анализ можно провести для логарифмического и поверхностного фракталов, получив границу  $D = 3.3$ .

На рис. 5 верхняя кривая удовлетворяет уравнению  $\gamma'_{sur}(r) = \gamma'_{in}(r)$ , а нижняя кривая удовлетворяет уравнению  $\gamma'_{vol}(r) = \gamma'_{in}(r)$  в пространстве параметров  $(D, r/\xi)$ . Поле между этими кривыми удовлетворяет условию доминирования

скорости корреляций логарифмического фрактала по сравнению с прочими в зависимости от параметров  $D$ ,  $r/\xi$ . Можно предположить, что полоса удовлетворяет условию доминирования скорости корреляций логарифмического фрактала по сравнению с прочими фракталами в зависимости от  $r/\xi$  во всем диапазоне  $10^{-5} < r/\xi < 1$ . Как видно из рис. 5, фрактал можно считать логарифмическим, если значение  $D$  близко к 3, т.е. в диапазоне  $D \in [2.9, 3.3]$  для всех  $r/\xi \in 10^{-5} - 10^{-1}$ .

### ЗАКЛЮЧЕНИЕ

В работе показаны недостатки и противоречия концепции рассеяния на фрактальных объектах, сформировавшейся в конце прошлого столетия. Представлен подход для расчета корреляционной функции, основанный на анализе сечения рассеяния нейтронов рассматривается как наблюдаемое свойство фрактальной частицы. В модели учитываются два основных параметра частицы: конечный размер  $\xi$  и степень ее фрактальности  $D$ , детектируемые через призму малоуглового нейтронного рассеяния. Описание охватывает в единой картине поверхностные и объемные фракталы, а ния  $\frac{d\sigma}{d\Omega}(Q) \sim Q^{-3}$ . Корреляционная функция  $\gamma(r)$  для объемных и поверхностных фракталов описывается общим выражением и пропорциональна функции Макдональда  $(D-3)/2$ -го порядка, помноженной на степенную функцию  $r^{(D-3)/2}$ . При  $2 < D < 3$  корреляционная функция соответствует объемному фракталу с  $D = D_m$ , при  $D = 3$  – логарифмическому, при  $3 < D < 4$  – поверхностному с  $D = 6 - D_s$  ( $D_m$  и  $D_s$  – фрактальные размерности объемного и поверхностного фрактала). Кроме того, корреляционные функции для неограниченных фракталов, как объемных, так и поверхностных, совпадают с асимптотикой полученного выражения при  $r/\xi < 1$ , где  $\xi$  – корреляционная длина частицы.

Также получено выражение для одномерной корреляционной функции  $G(z)$ , которая измеряется в методе спин-эхо малоуглового рассеяния нейтронов. Функция спин-эхо длины фрактального объекта описывается аналогичным выражением, со сдвигом индекса функции Макдональда и показателя степенной функции на  $1/2$ . Пограничный случай перехода от объемного к поверхностному фракталу, соответствующий кубической зависимости сечения рассеяния нейтронов  $\frac{d\sigma}{d\Omega}(Q) \sim Q^{-3}$

в пространстве переданных импульсов, соответствует  $G(z) = \exp(-z/\xi)$ . Корреляционная функция при  $r/\xi < 1$  (в области фрактального поведения) пропорциональна  $\ln(\xi/r)$ .

### БЛАГОДАРНОСТИ

Работа выполнена при поддержке РФФИ (гранты №16-02-00987 а, №17-02-00313 а).

### ПРИЛОЖЕНИЯ

**Приложение А. Случай  $D = 3$ .** Спин-эхо функция при  $D = 3$  выражается следующим образом:

$$G(z) = \frac{A}{\sigma k_0^2} \int_R \cos\left(\frac{z}{\xi} t_z\right) dt_z \int_R \frac{dt_y}{(1 + t_y^2 + t_z^2)^{3/2}}, \quad (40)$$

это выражение (23), где введена замена  $Q\xi = \sqrt{t_y^2 + t_z^2}$ .

Для начала проинтегрируем по  $t_y$ . Интеграл легко берется, если сделать замену переменной

$$\frac{t_y}{\sqrt{t_y^2 + 1}} = \sinh(\alpha).$$

$$\int_R \frac{dt_y}{(1 + t_y^2 + t_z^2)^{3/2}} = \frac{2}{t_z^2 + 1}. \quad (41)$$

Тогда спин-эхо функция выглядит следующим образом:

$$G(z) = \frac{2A}{\sigma k_0^2} \int_R \frac{\cos\left(\frac{z}{\xi} t_z\right) dt_z}{t_z^2 + 1} = \frac{2A}{\sigma k_0^2} \exp\left(-\frac{z}{\xi}\right). \quad (42)$$

Для взятия интеграла использовалась лемма Жордана. Полное сечение рассеяния равно:

$$\sigma = \frac{2A}{k_0^2} \int_R \frac{1}{t_z^2 + 1} = \frac{2\pi A}{k_0^2}, \quad (43)$$

тогда нормированная проекция корреляционной функции равна  $\exp\left(-\frac{z}{\xi}\right)$ .

**Приложение В. Приближение  $G(z)$  элементарной функцией.** Воспользуемся для функции Макдональда следующим интегральным представлением:

$$K_n(x) = \sqrt{\frac{\pi}{2x}} \frac{\exp(-x)}{\Gamma(n + 1/2)} \times \int_0^\infty \exp(-t) t^{n-1/2} (1 + t/2x)^{n-1/2} dt. \quad (44)$$

при  $x \rightarrow 0$  выражение (44) можно представить в следующем виде:

$$K_n(x) \approx \sqrt{\frac{\pi}{2x}} \frac{1}{\Gamma\left(n + \frac{1}{2}\right)} \frac{1}{(2x)^{n-\frac{1}{2}}} \times$$

$$\times \int_0^\infty \exp(-t) t^{2n-1} dt = \frac{2^{n-1} \Gamma(n)}{x^n}, \quad (45)$$

а при  $x > 1/2$  имеем:

$$K_n(x) = \sqrt{\frac{\pi}{2x}} \exp(-x) \left( 1 + \sum_{r=1}^{\infty} \frac{\Gamma\left(n + \frac{1}{2} - r\right)}{\Gamma\left(n + 1/2\right)} \times \right.$$

$$\left. \times \frac{\left(n - \frac{1}{2}\right) \dots \left(n - r + 1/2\right)}{r!} (2x)^{-r} \right), \quad (46)$$

$$K_n(x) \cong \sqrt{\frac{\pi}{2x}} \exp(-x) (1 + 1/x)^{\frac{(D-3)(D-1)}{8}}. \quad (47)$$

Тогда в приближении  $z/\xi \rightarrow 0$  функция СЭМУРН имеет вид:

$$G(z) \cong 1, \quad (48)$$

а в приближении  $z/\xi > 1/2$ :

$$G(z) = \frac{\sqrt{\pi}}{\Gamma\left(\frac{D}{2} - 1\right)} \left(\frac{z}{2\xi}\right)^{\frac{D-3}{2}} \times$$

$$\times \exp(-z/\xi) (1 + \xi/z)^{\frac{(D-3)(D-1)}{8}}. \quad (49)$$

Приближенное выражение (49) описывает точное выражение (48) при всех  $z/\xi$  за исключением области небольших значений аргумента. Видно, что при  $D > 3$  и при  $r = 0$  функция СЭМУРН  $G(0) = 0$ , а при  $D < 3$  и при  $r = 0$  функция СЭМУРН  $G(0) = \infty$ . Только при  $D = 3$  и при  $r = 0$  функция СЭМУРН  $G(0) = 1$ , а формула (49) не имеет особенности и равна убывающей экспоненте, что совпадает с (48). Для избежания особенности в окрестности нуля в формуле (49) введем дополнительный параметр  $a_0$  и скорректируем выражение (49) следующим образом:

$$G(z) = \frac{\sqrt{\pi}}{\Gamma\left(\frac{D}{2} - 1\right)} \left(\frac{z + a_0}{2\xi}\right)^{\frac{D-3}{2}} \times$$

$$\times \exp(-z/\xi) (1 + \xi/(z + a_0))^{\frac{(D-3)(D-1)}{8}}. \quad (50)$$

С физической точки зрения это вполне оправданно, поскольку фракталы имеют нижний предел.

На рис. 2 точками представлено точное решение (30) для функции СЭМУРН при разных

значениях параметра  $D$ . Пунктирной линией изображена аппроксимация этих функций выражением (50), в которой были свободными оба параметра ( $D$  и  $\xi$ ). Значение параметра  $D$  в ходе аппроксимации с точностью до нескольких сотых совпало с его заданным значением, а параметр  $\xi$  для каждой кривой был равен 1, с высокой точностью.

## СПИСОК ЛИТЕРАТУРЫ

1. Mandelbrot B. The Fractal Geometry of Nature. San Francisco: CA: Freeman, 1983. 470 p.
2. Maccarthy D. W., Mark J. E., Schaefer D. W. // J. of Polymer Science: Part B: Polymer Physics. 1998. V. 36. P. 1167.
3. Dale W. Schaefer, Ryan Justic S. // Macromolecules. 2007. V. 40(24). P. 8501.
4. Roe R. J. Methods of X-ray and Neutron Scattering in Polymer Science. New York: Oxford University Press, 2000. 420 p.
5. Harold D. Bale and Paul W. Schmidt // Physical Review L. 1984. V. 53. № 6. P. 596.
6. Hurd A. J., Schaefer D. W., Martin J. E. // Physical Review A. 1987. V. 35. № 5. P. 2361.
7. Ilatovskiy A., Lebedev D., Filatov M., Petukhov M., Isaev-Ivanov V. // J. Phys.: Conf. Ser. 351. 2012.
8. Bancaud A., Lavelle C., Huet S., Ellenberg J. // Nucl. Acids Res. 2012. V. 40. № 18. P. 8783.
9. Schmidt P. W. The Fractal Approach to Heterogeneous Chemistry: Surfaces, Colloids, Polymers, 1989. P. 67.
10. Lebedev D. V., Filatov M. V., Kuklin A. I., Islamov A. Kh., Kentzinger E., Pantina R. A., Toperverg B. P., Isaev-Ivanov V. V. // FEBS Lett. 2005. V. 579. P. 1465.
11. Metze K. // Expert Rev. Mol. Diagn. 2013. 13(7). P. 719.
12. Mirny L. A. // Chromosome Res. 2011. V. 19(1). P. 37.
13. Elias-Kohav T., Shelntuch M. // Chem. Engin. Sci. 1991. V. 46. № 11. P. 2787.
14. Jonson L., Li X., Logan B. // Environmental Sci. and Techn. 1996. V. 30. № 6. P. 1911.
15. Suslick K. S. // Annu. Rev. Mater. Sci. 1999. V. 29. P. 295.
16. Hangxun Xu, Brad W. Zeigera, Kenneth S. Suslick // Chem. Soc. Rev. 2013. V. 42. P. 2555.
17. Saez V., Mason T. J. // Molecules. 2009. V. 14. P. 4284.
18. Bang J. H., Suslick K. S. // Adv. Mater. 2010. V. 22. P. 1039.
19. Meskin P. E., Ivanov V. K., Barantchikov A. E., Churagulov B. R., Tretyakov Yu. D. // Ultrason. Sonochem. 2006. V. 13. P. 47.
20. Teixeira J. // In On Growth and Form / Eds. H. E. Stanley and N. Ostrowsky. Dordrecht: Nijhoff, 1986. P. 145–162.21.
21. Teixeira J. // J. Appl. Cryst. 1988. V. 21. P. 781.
22. Rekveldt M. Th. // J. Nucl. Instrum. Methods. B. 1996. V. 114. P. 366.

23. *Rekveldt M. Th., Bouwman W. G., Kraan W. H., Uca O., Grigoriev S. V., Habich K., Keller T.* // *Lecture Notes in Physics*. 2003. V. 601. P. 87.
24. *Debye P., Bueche A. M.* // *J. Appl. Phys.* 1949. V. 20. P. 518.
25. *Debye P., Anderson H. R., Brumberger H.* // *J. Appl. Phys.* 1957. V. 28(6). P. 679.
26. *Паташинский А. З., Покровский В. Л.* Флуктуационная теория фазовых переходов. М.: Наука, 1975.
27. *Малеев С. В., Рубан В. А.* // *ЖЭТФ*. 1972. Т. 62. № 2. С. 415.
28. *Stanley H. E.* Introduction to Phase Transitions and Critical Phenomena. Oxford: Clarendon Press, 1971.
29. *Chen S.-N., Bendedouch D.* In Enzyme Structure, Method in Enzymology. New York: Academic Press, 1985.
30. *Wong Po-zen, Cao Qi-zhong* // *PRB*. 1992. V. 45. № 14.
31. *Sinha S. K.* // *Physica. D*. 1989, V. 38. P. 310.
32. *Freltoft T., Kjems J. K., Sinha S. K.* // *PRB*, 1986. V. 33. № 1. P. 269.
33. *Kjems J. K., Freltoft T., Richter D., Sinha S. K.* // *Physica. B*. 1986. V. 136. P. 285.
34. *Pfeifer Peter., Schmidt P. W.* // *PRL*. 1988. V. 60. № 13. P. 1345.
35. *Wong Po-zen, Bray A. J.* // *PRL*. 1988. V. 60. № 13. P. 786.
36. *Harold D. Bale and Paul W. Schmidt* // *PRL*. 1984. V. 53. № 6. P. 596.
37. *Rekveldt M. Th., Plomp J., Bouwman W. G., Kraan W. H., Grigoriev S. & Blaauw M.* // *Rev. Sci. Instr.* 2005. V. 76. P. 252.
38. *Krouglov T., de Schepper I. M., Bouwman W. G., Rekveldt M. Th.* // *J. Appl. Crystallogr.*, 2003, V. 36, P. 117–124.
39. *Bouwman W. G., Krouglov T. V., Plomp J., Rekveldt M. Th.* // *Physica. B*. 2004. V. 357. P. 66.
40. *Krouglov T., Bouwman W. G., Plomp J., Rekveldt M. Th., Vroege G.J., Petukhov A.V.* // *J. Appl. Cryst.* 2003. V. 36. P. 1417.
41. *Andersson R., Bouwman W. G., Plomp J., Mulder F. M., Schimmel H. G., De Schepper I. M.* // *Powder Technology*. 2009. V. 189. P. 6.
42. *Andersson R., Bouwman W.G., Luding S., de Schepper I.M.* // *Granular Matter*. 2008. V. 10. P. 407.
43. *Andersson R., van Heijkamp L.F., de Schepper I. M., Bouwman W. G.* // *J. Appl. Cryst.* 2008. V. 41. P. 868.
44. *Andersson R., Bouwman W.G., Luding S., de Schepper I.M.* // *Phys. Rev. E*. 2008. V. 051303–1(8). P. 77.
45. *Andersson R.A.* Microstructure in Powders: Spin-echo Small-angle Neutron Scattering Measurements. PhD thesis. Delft University of Technology. IOS press, 2008.
46. *Wong P.-Z., Bray A.J.* // *J. Appl. Cryst.*, 1988. V. 21. P. 786.
47. *Indekeu J. O., Fleerackers G.* // *Phys. A*. 1998. V. 261. P. 294.
48. *Федотов Г. Н., Третьяков Ю. Д., Пахомов Е. И., Куклин А. И., Исламов А. Х., Початкова Т. Н.* // *ДАН*. 2006. Т. 409. № 2. С. 199.
49. *Федотов Г. Н., Третьяков Ю. Д., Путляев В. И., Пахомов Е. И., Куклин А. И., Исламов А. Х.* // *ДАН*. 2006. Т. 412. № 6. С. 772.
50. *Федотов Г. Н., Третьяков Ю. Д., Иванов В. К., Куклин А. И., Исламов А. Х., Путляев В. И., Гаршев А. В., Пахомов Е. И.* // *ДАН*. 2005. Т. 404. № 5. С. 638.

## Small-Angle Neutron Scattering by Fractal Objects

E. G. Iashina, S. V. Grigoriev

The paper presents calculations of the correlation function of fractal isotropic particles with size  $\xi$  and fractal dimension  $D$ . It is shown that the correlation function  $\gamma(r)$  of volume or surface fractal is described as generalized expression and is proportional to the Macdonald function of order  $(D-3)/2$ , multiplied by a power function. Asymptotic expressions for the correlation functions of the both type of fractals (volume and surface) in the range  $r/\xi < 1$  are equal to the correlation functions of unlimited fractals. The one-dimensional correlation function of isotropic fractal particles  $G(z)$  which measured in the method of spin-echo small-angle neutron scattering (SESANS) is described by a similar expression with a translation of the index of the Macdonald functions and the power function to  $1/2$ . The power-law character of the neutron scattering intensity versus the scattering vector with parameter  $D = 3$  or close to 3 corresponds to the exponential law of the SESANS function  $G(z) = \exp(-z/\xi)$ . The spatial pair correlation function that corresponds to the sample in this case is equal to  $\gamma(r) \sim \ln(\xi/r)$ . It has an unusual scaling law. The correlation function increases with an additive rather than multiplicative constant, upon reducing the scale by a fixed rescaling factor. This leads to a logarithmic law instead of the usual power law for fractals.

**Keywords:** condensed matter physics, small-angle neutron scattering.